

СООБЩЕНИЯ
ОБЪЕДИНЕННОГО
ИНСТИТУТА
ЯДЕРНЫХ
ИССЛЕДОВАНИЙ

Дубна

P13 - 5291



Ю.Ф. Ломакин., Р.В. Чвартацкий

ЛАБОРАТОРИЯ ЯДЕРНЫХ ПРОБЛЕМ

ИССЛЕДОВАНИЕ
ГИДРОДИНАМИЧЕСКИХ ПРОЦЕССОВ
И ПАРАМЕТРОВ ДВИЖЕНИЯ СТЕКЛА
В БОЛЬШОЙ ПУЗЫРЬКОВОЙ КАМЕРЕ

1970

P13 - 5291

Ю.Ф. Ломакин, Р.В. Чвартацкий

ИССЛЕДОВАНИЕ
ГИДРОДИНАМИЧЕСКИХ ПРОЦЕССОВ
И ПАРАМЕТРОВ ДВИЖЕНИЯ СТЕКЛА
В БОЛЬШОЙ ПУЗЫРЬКОВОЙ КАМЕРЕ

При создании больших пузырьковых камер возникает ряд проблем, решение которых возможно только путем проведения расчётно-теоретических исследований^{/1/}. Так, например, при создании в ОИЯИ 200-литровой пропановой камеры В.П. Желеповым с сотрудниками был выполнен первый значительный цикл работ^{/2/} по гидродинамике процессов в объеме камеры и системе изменения давления, положенных в основу выбора конструктивных параметров установки в целом. Рассмотрение основано на подходе к пузырьковой камере, как к своего рода резонансной системе.

В настоящей работе проведено общее исследование однородности поля давления в рабочей жидкости большой пузырьковой камеры с "плавающим" стеклом и определены параметры движения стекла, необходимые для расчёта прочности стекла и оценки оптических искажений.

1. Представим схематически пузырьковую камеру в виде сосуда, имеющего форму прямоугольного параллелепипеда (рис. 1). На грань $z = f$ натянута мембрана. Стекло установлено параллельно мембране и делит сосуд на две несообщающиеся части.

Одна часть (охранный объем), заключенная между гранью $z = 0$ и стеклом ($z = d$), заполняется дистиллированной водой.

Другая часть (рабочий объем), заключенная между стеклом и мембраной, заполняется рабочей жидкостью (пропаном C_3H_8 , фреоном F13B1 или их смесью). Стекло, заделанное по контуру в жесткую раму массы M_p , крепится к стенкам сосуда при помощи упругих двусторонних связей, которые допускают его плоско-параллельное перемещение и имеют жесткость $a/2$. Заданный режим изменения давления в рабочей жидкости осуществляется с помощью внешнего воздействия

$P(x, y, z, t)$ на мембрану.

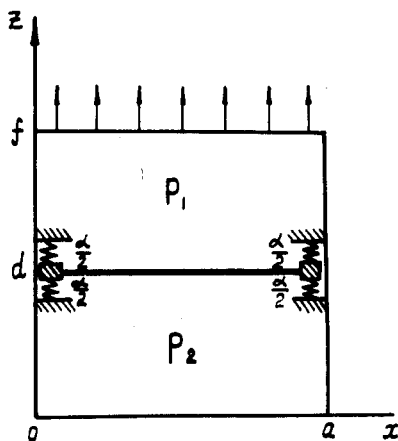
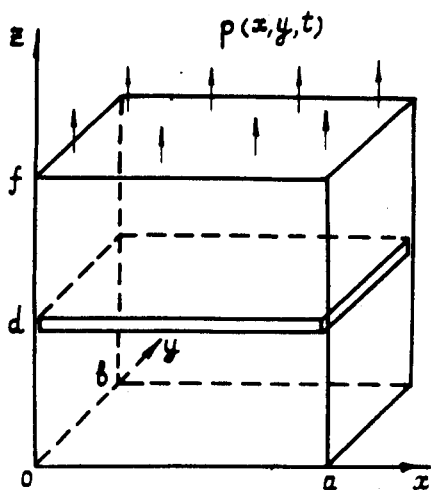


Рис.1

2. В задаче приняты следующие основные допущения. Стенки сосуда считаются абсолютно жесткими; мембрана принимается бесконечно гибкой; жесткость упругих связей и сжимаемость жидких сред считаются постоянными; рассеяние энергии при колебаниях не учитывается; внешнее давление симметрично относительно осей симметрии грани $z = f$. Отклонения рассматриваемой системы от некоторого начального состояния описываются следующими уравнениями:

$$c_1^2 \Delta P_1 - \frac{\partial^2 P_1}{\partial t^2} = 0; \quad \Delta = \frac{\partial^2}{\partial x^2} + \frac{\partial^2}{\partial y^2} + \frac{\partial^2}{\partial z^2}; \quad (2.1)$$

$$c_2^2 \Delta P_2 - \frac{\partial^2 P_2}{\partial t^2} = 0; \quad (2.2)$$

$$D \Delta' \Delta' W + \mu \frac{\partial^2 W}{\partial t^2} = (P_2 - P_1)_{z=d}; \quad \Delta' = \frac{\partial^2}{\partial x^2} + \frac{\partial^2}{\partial y^2}; \quad (2.3)$$

$$M_0 \frac{d^2 W_0}{dt^2} + a W_0 = \int_0^a \int_0^b [(P_2 - P_1)_{z=d} - \mu \frac{\partial^2 W}{\partial t^2}] dy dx. \quad (2.4)$$

Здесь уравнением (2.1) описывается изменение давления $P_1(x, y, z, t)$ в жидкой среде (плотность ρ_1 и скорость звука c_1), находящейся в промежутке $d \leq z \leq f$; уравнением (2.2) — изменение давления $P_2(x, y, z, t)$ в жидкой среде (плотность ρ_2 и скорость звука c_2), находящейся в промежутке $0 \leq z \leq d$; уравнением (2.4) — перемещение рамы $W_0(t)$; уравнением (2.3) — движение стекла

$W(x, y, t)$, имеющего цилиндрическую жесткость $D = \frac{E h^3}{12(1-\nu^2)}$

и массу единицы площади μ (где h - толщина стекла, ν - коэффициент Пуассона, E - модуль Юнга).

Уравнения (2.1)-(2.4) решаются при следующих граничных условиях. На боковой поверхности и нижней грани из условия равенства нулю нормальной составляющей скорости перемещения жидкости имеем:

$$\text{при } x = 0 ; a \quad \frac{\partial P_1}{\partial x} = 0 \quad ; \quad \text{при } y = 0 ; b \quad \frac{\partial P_1}{\partial y} = 0 ; \quad (2.5)$$

$$\text{при } z = 0 \quad \frac{\partial P_2}{\partial z} = 0 .$$

На верхней грани

$$\text{при } z = f \quad P_1 = P(x, y, t) . \quad (2.6)$$

Кроме того из условия непрерывного контакта жидкой среды с поверхностью стекла можно записать^{/3/}:

$$\text{при } z = d \quad \frac{\partial P_1}{\partial z} = -\rho_1 \frac{\partial^2 W}{\partial t^2} . \quad (2.7)$$

Здесь и в (2.5) $i = 1; 2$.

Граничные условия для опертой пластины:

$$\text{при } x = 0 ; a \quad W = W_0 ; \left(\frac{\partial^2 W}{\partial x^2} + \nu \frac{\partial^2 W}{\partial y^2} \right) = 0 ; \quad (2.8)$$

$$\text{при } y = 0 ; b \quad W = W_0 ; \left(\nu \frac{\partial^2 W}{\partial x^2} + \frac{\partial^2 W}{\partial y^2} \right) = 0 .$$

3. Для решения системы уравнений (2.1)-(2.4) проведем преобразование Лапласа в уравнениях и граничных условиях^{/4/}. Тогда

$$\Delta P_1 - \frac{r^2}{c_1^2} P_1 = 0 , \quad (3.1)$$

$$\Delta p_2 - \frac{r^2}{c^2} p_2 = 0, \quad (3.2)$$

$$D \Delta \Delta' w + \mu r^2 w = (p_2 - p_1)_{z=d}, \quad (3.3)$$

$$M_0 r^2 w_0 + a w_0 = \int_0^a \int_0^b [(p_2 - p_1)_{z=d} - \mu r^2 w] dy dx, \quad (3.4)$$

где r — переменная преобразования Лапласа; p_1 , p_2 , w , w_0 здесь и дальше обозначают изображения функций. Все граничные условия сохраняют свой вид, кроме (2.7), которое запишется так:

$$\text{при } z = d \quad \frac{\partial p_i}{\partial z} = -\rho_i r^2 w \quad i = 1; 2. \quad (3.5)$$

Согласно принятому допущению о функции $P(x, y, t)$ в жидких слоях, параллельных плоскости oxy , в стекле возбуждаются только симметричные формы колебаний. Поэтому ищем решение уравнения (3.1) в виде разложения по собственным формам колебаний давления жидкости

$$p_1 = \sum_{m,n=0}^{\infty} F_{(m,n)}(z) \cos \gamma_m x \cos \lambda_n y. \quad (3.6)$$

Здесь

$$\gamma_m = \frac{\pi m}{a}; \quad \lambda_n = \frac{\pi n}{b}; \quad m, n = 0, 2, 4, \dots$$

При этом удовлетворяются граничные условия (2.5).

Подставляя (3.6) в (3.1), получаем

$$\frac{d^2 F_{(m,n)}(z)}{dz^2} - \eta_{mn}^2 F_{(m,n)}(z) = 0. \quad (3.7)$$

Здесь

$$\eta_{mn}^2 = \left(\frac{\pi m}{a} \right)^2 + \left(\frac{\pi n}{b} \right)^2 + \left(\frac{r}{c_1} \right)^2 .$$

Уравнение (3.7) имеет решение:

$$F_{(mn)_1}(z) = M_{mn} \operatorname{sh} \eta_{mn} (f-z) + N_{mn} \operatorname{ch} \eta_{mn} (f-z) . \quad (3.8)$$

Решение уравнения (3.2) есть:

$$p_2 = \sum_{m,n=0}^{\infty} F_{(mn)_2}(z) \cos \gamma_m x \cos \lambda_n y . \quad m,n = 0,2,4,\dots \quad (3.9)$$

При этом удовлетворяются граничные условия (2.5). Подставляя (3.9) в (3.2), получаем

$$\frac{d F_{(mn)_2}}{dz^2} - \kappa_{mn}^2 F_{(mn)_2} = 0 . \quad (3.10)$$

Здесь

$$\kappa_{mn}^2 = \left(\frac{\pi m}{a} \right)^2 + \left(\frac{\pi n}{b} \right)^2 + \left(\frac{r}{c_2} \right)^2 .$$

Решение уравнения (3.10), удовлетворяющее однородному граничному условию по z , имеет вид

$$F_{(mn)_2}(z) = Q_{mn} \operatorname{ch} \kappa_{mn} z . \quad (3.11)$$

Функцию w , удовлетворяющую уравнению (3.3) и граничным условиям (2.8), ищем в виде суммы двух слагаемых. Одно слагаемое представляет собой функцию w_0 , описывающую движение контура стекла; другое – функцию, описывающую перемещение стекла относительно рамы.

$$w = w_0 + \sum_{q, \ell=1}^{\infty} A_{q \ell} \sin \gamma_q x \sin \lambda_{\ell} y \quad q, \ell = 1, 3, 5, \dots \quad (3.12)$$

Подставляя (3.6), (3.9) и (3.12) в (3.4), получаем

$$w_0 = \frac{a b}{\alpha + r^2 (M_0 + \mu a b)} [F_{(00)2}(d) - F_{(00)1}(d)] - \frac{4 \mu r^2}{\pi^2} \sum_{q, \ell=1}^{\infty} \frac{A_{q \ell}}{q \ell} \quad (3.13)$$

Разложим $p(x, y)$ в двойной ряд Фурье

$$p(x, y) = \sum_{m, n=0}^{\infty} B_{m n} \cos \gamma_m x \cos \lambda_n y, \quad m, n = 0, 2, 4, \dots \quad (3.14)$$

где

$$B_{m n} = \frac{\int_0^a \int_0^b p(x, y) \cos \gamma_m x \cos \lambda_n y \, dy \, dx}{\int_0^a \int_0^b \cos^2 \gamma_m x \cos^2 \lambda_n y \, dy \, dx} \quad (3.15)$$

Тогда из условия (2.6) получаем

$$N_{m n} = B_{m n} \quad (3.16)$$

Из граничных условий (2.7) имеем при $z = d$

$$\frac{1}{\rho_1} \frac{\partial p_1}{\partial z} = \frac{1}{\rho_2} \frac{\partial p_2}{\partial z}$$

Отсюда

$$M_{mn} \operatorname{ch} \eta_{mn} (f-d) + N_{mn} \operatorname{sh} \eta_{mn} (f-d) + Q_{mn} \frac{\rho_1 \kappa_{mn}}{\rho_2 \eta_{mn}} \operatorname{sh} \kappa_{mn} d = 0 \quad (3.17)$$

Подставляя (3.6), (3.9) и (3.12) в (3.3), получаем

$$\begin{aligned} \sum_{q, \ell=1}^{\infty} A_{q\ell} D_{q\ell} \sin \gamma_q x \sin \lambda_\ell y + \mu r^2 w_0 &= \\ &= \sum_{m, n=0}^{\infty} [F_{(mn)_2}(d) - F_{(mn)_1}(d)] \cos \gamma_m x \cos \lambda_n y. \end{aligned} \quad (3.18)$$

Здесь

$$q, \ell = 1, 3, 5, \dots; \quad m, n = 0, 2, 4, \dots; \quad D_{q\ell} = D(\gamma_q^2 + \lambda_\ell^2)^2 + \mu r^2.$$

Умножая (3.18) на $\sin \gamma_q x \sin \lambda_\ell y$ и интегрируя по площади стекла, получаем

$$\frac{\pi^2}{16} A_{q\ell} D_{q\ell} + \frac{\mu r^2}{q\ell} w_0 = \sum_{m, n=0}^{\infty} [F_{(mn)_2}(d) - F_{(mn)_1}(d)] \frac{q\ell}{(q^2 - m^2)(\ell^2 - n^2)} \quad (3.19)$$

Из условия (3.5) имеем

$$\sum_{m, n=0}^{\infty} Q_{mn} \kappa_{mn} \operatorname{sh} \kappa_{mn} d \cos \gamma_m x \cos \lambda_n y =$$

$$= -\rho_2 r^2 w_0 - \rho_2 r^2 \sum_{q,\ell=1}^{\infty} A_{q\ell} \sin \gamma_q x \sin \lambda_{\ell} y. \quad (3.20)$$

Здесь $q, \ell = 1, 3, 5, \dots$; $m, n = 0, 2, 4, \dots$.

Умножая (3.20) на $\cos \gamma_m x \cos \lambda_n y$ и интегрируя по поперечному сечению объема, получаем

$$Q_{00} \kappa_{00} \operatorname{sh} \kappa_{00} d = -\rho_2 r^2 w_0 - \frac{4\rho_2 r^2}{\pi^2} \sum_{q,\ell=1}^{\infty} \frac{A_{q\ell}}{q\ell}. \quad (3.21)$$

$$Q_{mn} \kappa_{mn} \operatorname{sh} \kappa_{mn} d = -\frac{16\rho_2 r^2}{\pi^2} \sum_{q,\ell=1}^{\infty} A_{q\ell} \frac{q\ell}{(q^2 - m^2)(\ell^2 - n^2)}.$$

Здесь $q, \ell = 1, 3, 5, \dots$; $m, n = 2, 4, 6, \dots$.

Условия (3.13), (3.16), (3.17), (3.19) и (3.21) представляют собой бесконечную систему алгебраических уравнений с бесчисленным множеством неизвестных $A_{q\ell}(r)$, $M_{mn}(r)$, $N_{mn}(r)$, $Q_{mn}(r)$ и $w_0(r)$. Как известно, приближенное решение такой системы может быть найдено методом редукции, т.е. с помощью перехода к решению конечной системы, получающейся из данной бесконечной отбрасыванием всех уравнений и неизвестных, начиная с некоторого ^{5/}.

4. Рассмотрим важный для практических приложений случай, когда внешнее воздействие имеет форму полуволны синусоиды, аналитическое выражение которой имеет вид

$$P(x, y, t) = \begin{cases} 0 & t < 0 \\ -P \sin \omega t & 0 < t < \frac{\pi}{\omega} \\ 0 & t > \frac{\pi}{\omega} \end{cases} \quad (4.1)$$

Здесь $\omega = \frac{2\pi}{T}$; T - период колебания внешнего воздействия.

Изображение функции Лапласа $P(x, y, t)$ имеет вид

$$p(x, y) = - \frac{P_0 \omega}{r^2 + \omega^2} (e^{-r \frac{\pi}{\omega}} + 1). \quad (4.2)$$

Разложение $p(x, y)$ в ряд по косинусам дает следующие значения коэффициентов:

$$B_{00} = - \frac{P_0 \omega}{r^2 + \omega^2} (e^{-r \frac{\pi}{\omega}} + 1); \quad B_{mn} = 0. \quad (4.3)$$

Ограничиваясь определением первой формы колебаний пластины, получаем из (3.13), (3.16), (3.17), (3.19), (3.21) следующую систему уравнений:

$$\left\{ \begin{array}{l} N_{00} = B_{00}(r) \\ M_{00} \operatorname{ch} \frac{r(f-d)}{c_1} + N_{00} \operatorname{sh} \frac{r(f-d)}{c_1} + Q_{00} \frac{\rho_1 c_1}{\rho_2 c_2} \operatorname{sh} \frac{rd}{c_2} = 0 \\ A_{11} \frac{\pi^2}{16} [D(\gamma_1^2 + \lambda_1^2)^2 + \mu r^2] + M_{00} \operatorname{sh} \frac{r(f-d)}{c_1} + N_{00} \operatorname{ch} \frac{r(f-d)}{c_1} - \\ - Q_{00} \operatorname{ch} \frac{rd}{c_2} + w_0 \mu r^2 = 0 \\ A_{11} \frac{4\rho_2 r^2}{\pi^2} + Q_{00} \frac{r}{c_2} \operatorname{sh} \frac{rd}{c_2} + w_0 \rho_2 r^2 = 0 \\ A_{11} \frac{4\mu r^2}{\pi^2} + M_{00} \operatorname{sh} \frac{r(f-d)}{c_1} + N_{00} \operatorname{ch} \frac{r(f-d)}{c_1} - Q_{00} \operatorname{ch} \frac{rd}{c_2} + \\ + w_0 \frac{\alpha + r^2(M_0 + \mu ab)}{ab} = 0. \end{array} \right. \quad (4.4)$$

Изображения искомых функций можно записать в виде:

$$p_1 = -B_{00}(r) \frac{\Delta_M(r)}{\Delta(r)} \operatorname{sh} \frac{r(f-z)}{c_1} + B_{00}(r) \operatorname{ch} \frac{r(f-z)}{c_1}, \quad (4.5)$$

$$p_2 = -B_{00}(r) \frac{\Delta_Q(r)}{\Delta(r)} \operatorname{ch} \frac{rz}{c_2}, \quad (4.6)$$

$$w_0 = B_{00}(r) \frac{\Delta_{w_0}(r)}{\Delta(r)}, \quad (4.7)$$

$$w = w_0(r) + B_{00}(r) \frac{\Delta_A(r)}{\Delta(r)} \sin \frac{\pi x}{a} \sin \frac{\pi y}{b}. \quad (4.8)$$

Здесь $\Delta(r)$ - определитель системы (4.4); $\Delta_A(r)$, $\Delta_M(r)$, $\Delta_Q(r)$ и $\Delta_{w_0}(r)$ - миноры определителей соответствующих неизвестных, взятые по первой строке. Переходя к оригиналу, получаем

$$P_1(z, t) = \begin{cases} \frac{P_0 \Delta_M(\omega)}{\Delta(\omega)} \sin \frac{\omega}{c_1} (f-z) \sin \omega t - \frac{2P_0 \omega}{\theta_1^2 - \omega^2} \frac{\Delta_M(\theta_1)}{\Delta'(\theta_1)} \sin \frac{\theta_1}{c_1} (f-z) \sin \theta_1 t - \\ - P_0 \cos \frac{\omega}{c_1} (f-z) \sin \omega t; & 0 < t < \frac{\pi}{\omega} \\ \frac{4P_0 \omega}{\theta_1^2 - \omega^2} \frac{\Delta_M(\theta_1)}{\Delta'(\theta_1)} \cos \frac{\theta_1 \pi}{2\omega} \sin \frac{\theta_1}{c_1} (f-z) \sin \theta_1 \left(t - \frac{\pi}{2\omega} \right); \\ t > \frac{\pi}{\omega} \end{cases} \quad (4.9)$$

$$P_2(z,t) = \begin{cases} \frac{P_0 \Delta_Q(\omega)}{\Delta(\omega)} \operatorname{ch} \frac{\omega z}{c_2} \sin \omega t + \frac{2P_0 \omega}{\theta_1^2 - \omega^2} \frac{\Delta_Q(\theta_1)}{\Delta'(\theta_1)} \operatorname{ch} \frac{\theta_1 z}{c_2} \sin \theta_1 t \\ 0 < t < \frac{\pi}{\omega} \\ \\ \frac{4P_0 \omega}{\theta_1^2 - \omega^2} \frac{\Delta_Q(\theta_1)}{\Delta'(\theta_1)} \cos \frac{\theta_1 z}{c_2} \cos \frac{\pi \theta_1}{2\omega} \sin \theta_1 \left(t - \frac{\pi}{2\omega} \right) \\ t > \frac{\pi}{\omega} \end{cases} \quad (4.10)$$

$$W_0(t) = \begin{cases} -\frac{P_0 \Delta_{w_0}(\omega)}{\Delta(\omega)} \sin \omega t - \frac{2P_0 \omega}{\theta_1^2 - \omega^2} \frac{\Delta_{w_0}(\theta_1)}{\Delta'(\theta_1)} \sin \theta_1 t \\ 0 < t < \frac{\pi}{\omega} \\ \\ -\frac{4P_0 \omega}{\theta_1^2 - \omega^2} \frac{\Delta_{w_0}(\theta_1)}{\Delta'(\theta_1)} \cos \frac{\theta_1 \pi}{2\omega} \sin \theta_1 \left(t - \frac{\pi}{2\omega} \right) \\ t > \frac{\pi}{\omega} \end{cases} \quad (4.11)$$

$$W(x,y,t) = \begin{cases} W_0(t) - \frac{P_0 \Delta_A(\omega)}{\Delta(\omega)} \sin \frac{\pi x}{a} \sin \frac{\pi y}{b} \sin \omega t - \frac{2P_0 \omega}{\theta_1^2 - \omega^2} \times \\ \times \frac{\Delta_A(\theta_1)}{\Delta'(\theta_1)} \sin \frac{\pi x}{a} \sin \frac{\pi y}{b} \sin \theta_1 t \quad 0 < t < \frac{\pi}{\omega} \\ \\ W_0(t) - \frac{4P_0 \omega}{\theta_1^2 - \omega^2} \frac{\Delta_A(\theta_1)}{\Delta'(\theta_1)} \sin \frac{\pi x}{a} \sin \frac{\pi y}{b} \cos \frac{\theta_1 \pi}{2\omega} \sin \theta_1 \left(t - \frac{\pi}{2\omega} \right) \\ t > \frac{\pi}{\omega} \end{cases} \quad (4.12)$$

Здесь

$$\Delta_M(\omega) = \frac{1}{i} \Delta_M(\mathbf{r}) \Big|_{\mathbf{r}=i\omega} ; \quad \Delta_M(\theta_1) = -\frac{1}{i} \Delta_M(\mathbf{r}) \Big|_{\mathbf{r}=i\theta_1} ;$$

$$\Delta'(\theta_1) = i \frac{d\Delta(\mathbf{r})}{d\mathbf{r}} \Big|_{\mathbf{r}=i\theta_1} ; \quad \Delta_Q(\omega) = \Delta_Q(\mathbf{r}) \Big|_{\mathbf{r}=i\omega} ;$$

$$\Delta_Q(\theta_1) = \Delta_Q(\mathbf{r}) \Big|_{\mathbf{r}=i\theta_1} ; \quad \Delta_{w_0}(\omega) = \Delta_{w_0}(\mathbf{r}) \Big|_{\mathbf{r}=i\omega} ;$$

$$\Delta_{w_0}(\theta_1) = \Delta_{w_0}(\mathbf{r}) \Big|_{\mathbf{r}=i\theta_1} ; \quad \Delta_A(\omega) = \Delta_A(\mathbf{r}) \Big|_{\mathbf{r}=i\omega} ;$$

$$\Delta_A(\theta_1) = \Delta_A(\mathbf{r}) \Big|_{\mathbf{r}=i\theta_1} ; \quad \Delta(\omega) = \Delta(\mathbf{r}) \Big|_{\mathbf{r}=i\omega} .$$

$i\theta_1$ - первый корень частотного уравнения $\Delta(\mathbf{r}) = 0$.

5. Практическим применением результатов решения поставленной задачи является выяснение влияния габаритов конструкции, массы рамы и свойств жидкой среды на однородность поля давления в рабочей жидкости и на амплитуду первой формы колебаний стекла с целью выбора оптимальных размеров камеры и определения напряженно-деформированного состояния стекла.

По формулам, полученным в п.4, на ЭВМ. был выполнен расчёт для следующих размеров камеры:

Вариант 1	a =400 см;	b =150 см;	d =100 см;	f =200 см;
Вариант 2	a =400 см;	b =150 см;	d =250 см;	f =350 см;
Вариант 3	a =600 см;	b =150 см;	d =150 см;	f =250 см;
Вариант 4	a =600 см;	b =150 см;	d =375 см;	f =475 см.

Расчёт проведен для всех четырех вариантов в двух предположениях о заполнении рабочего объема камеры:

а) рабочий объем заполнен смесью пропана с фреоном ($\rho_1 = 0,51 \cdot 10^{-6}$ кгсек²/см⁴, $c_1 = 0,4 \cdot 10$ см/сек);

б) рабочий объем заполнен чистым фреоном ($\rho_1 = 1,53 \cdot 10^{-6}$ кгсек²/см⁴, $c_1 = 0,7 \cdot 10^5$ см/сек).

Охранный объем заполнен дистиллированной водой ($\rho_2 = 1,02 \cdot 10^{-6}$ кгсек²/см⁴, $c_2 = 1,45 \cdot 10^5$ см/сек).

В расчёте было принято: начальное давление в камере 30 атм; перепад давления $P_c = 22$ атм; пластина предполагалась изготовленной из стекла марки К8 толщиной 10 см ($\mu = 25,7 \cdot 10^{-6}$ кгсек²/см³, $E = 8230$ кг/мм²); жесткость упругих связей $a = 22 \cdot 10^3$ кг/см; $T = 0,2$ сек.

На рис. 2 изображена функция $P_1(t)$ при $z = d$ и $\frac{M_0}{\mu ab} = 1$.

Приведенный график соответствует расчёту по 4 варианту габаритных размеров при заполнении рабочего объема фреоном.

С целью обсуждения результатов расчёта однородности поля давления в рабочей жидкости представим решение (4.9) в виде

$$P_1(t) = \begin{cases} S(z) \sin \omega t + R(\theta_1, z) \sin \theta_1 t; & 0 < t < \frac{\pi}{\omega} \\ \delta R(\theta_1, z) \sin \theta_1 (t - \frac{\pi}{2\omega}); & t > \frac{\pi}{\omega} \end{cases} \quad (4.13)$$

где

$$S(z) = - \left[\frac{P_0 \Delta_M(\omega)}{\Delta(\omega)} \sin \frac{\omega}{c_1} (f-z) + P_0 \cos \frac{\omega}{c_1} (f-z) \right],$$

$$R(\theta_1, z) = - \frac{2 P_0 \omega}{\theta_1^2 - \omega^2} \frac{\Delta_M(\theta_1)}{\Delta'(\theta_1)} \sin \frac{\theta_1 (f-z)}{c_1},$$

$$\delta = 2 \cos \theta_1 \frac{\pi}{2 \omega}.$$

Очевидно, что $0 \leq \delta \leq 2$.

Из (4.13) видно, что на изменение давления в рабочем объеме с частотой внешнего воздействия ω накладываются высокочастотные осцилляции давления с частотой θ_1 (рис. 2).

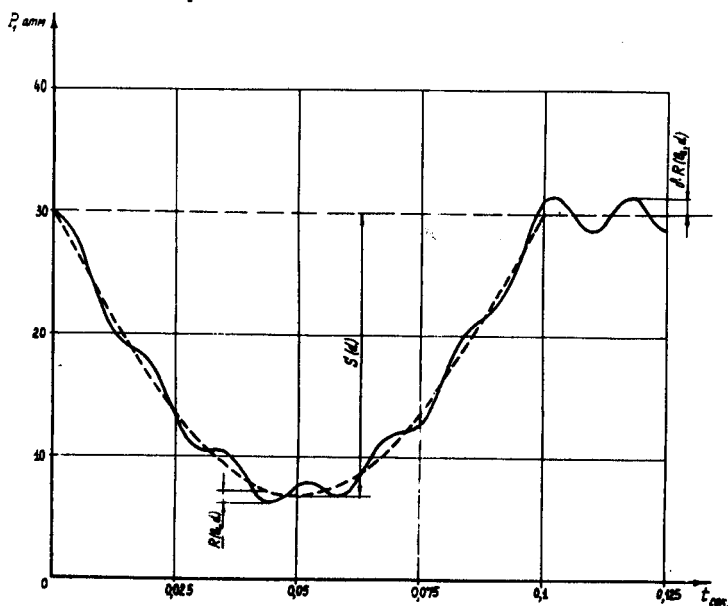


Рис.2

Полученную функцию $S(z)$ с достаточной степенью точности можно аппроксимировать линейной зависимостью

$$S(z) = \frac{P_0(k-1)}{f-d} (z-f) - P_0, \quad (4.14)$$

где $k=1,074$ (при заполнении рабочего объема смесью пропан-фреон); $k=1,051$ (при заполнении рабочего объема фреоном). При этом во всех случаях ошибка аппроксимации не превышает 0,2%. При заполнении рабочей камеры смесью пропана с фреоном $S(f)=22$ атм; $S(d)=23,6$ атм. Для фреона $S(f)=22$ атм; $S(d)=23,15$ атм.

Амплитуда высокочастотных осцилляций $R(\theta_1, z)$ существенно зависит от размеров камеры и соотношения $M_0/\mu ab$.

На рис. 3 и 4 представлены зависимости $R(\theta_1, d)$ рассматриваемых вариантов размеров камеры от $M_0/\mu ab$ для смеси и фреона соответственно. Цифрами 1, 2, 3, 4 здесь и на рис. 6 и 7 обозначены варианты размеров камеры. Для варианта 1 при $M_0/\mu ab=1$ амплитуда $R(\theta_1, d)$ равна 0,1 атм при заполнении камеры смесью и 0,45 атм при заполнении камеры фреоном.

На рис. 5 изображено перемещение центра стекла W' относительно плоскости рамы. Приведенный график соответствует расчёту по первому варианту размеров и $M_0/\mu ab=1$ при заполнении камеры дистиллированной водой и смесью. Как видно из графика рис. 2, стекло совершает колебания относительно некоторого прогиба, соответствующего внешнему воздействию, с частотой θ_1 .

Величина наибольшего прогиба W' равна 0,0041 см, что не опасно для прочности стекла.

На рис. 6 и 7 представлены графики зависимости W'_{max} от соотношения $M_0/\mu ab$ для смеси и фреона соответственно. Полученные результаты показывают существенное влияние соотношения $M_0/\mu ab$, габаритов и упругих свойств жидкой среды на относительный прогиб стекла W'_{max} и позволяют установить требования к конструкции камеры с точки зрения прочности стекла.

В заключение следует отметить, что изложенное решение задачи в

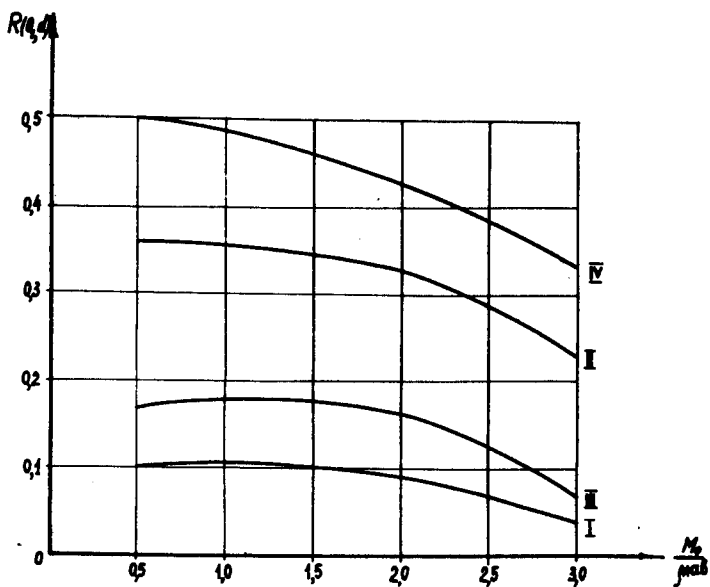


Рис.3

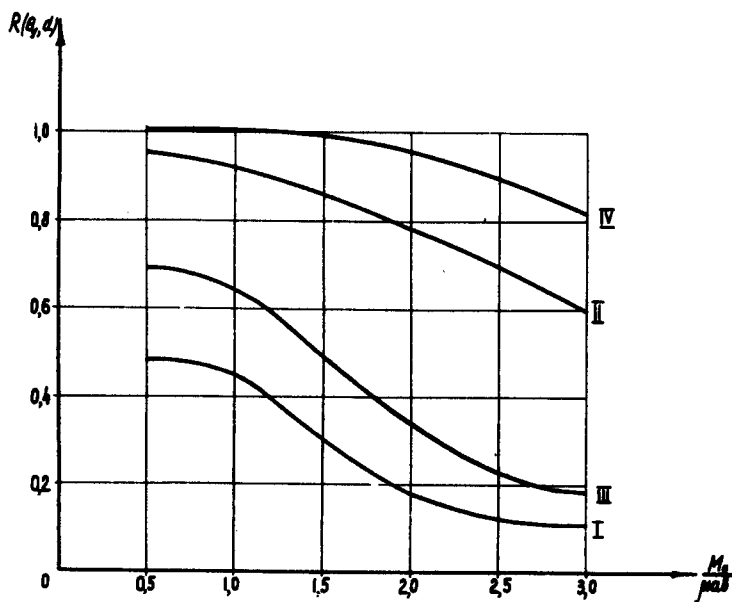


Рис.4

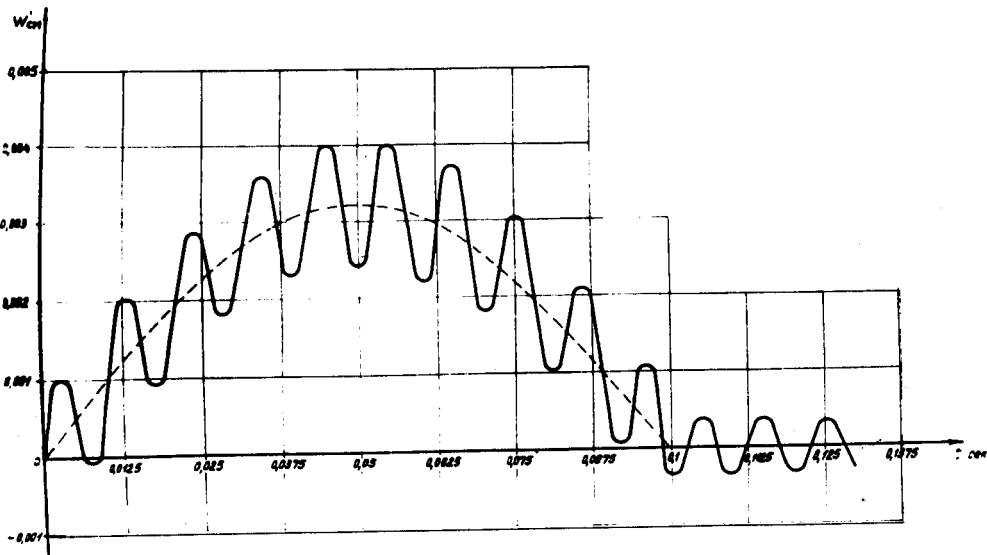


Рис.5

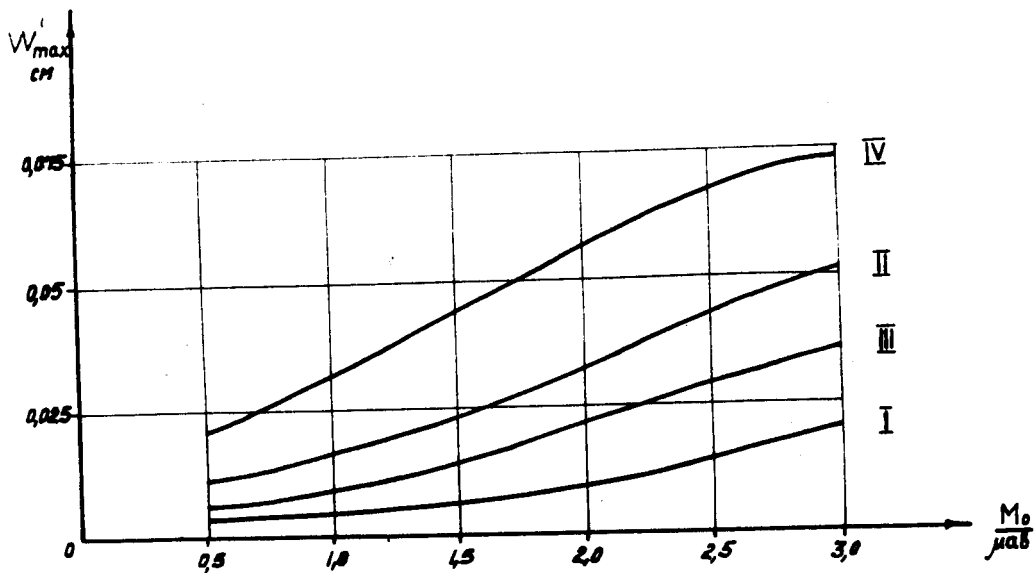


Рис.6

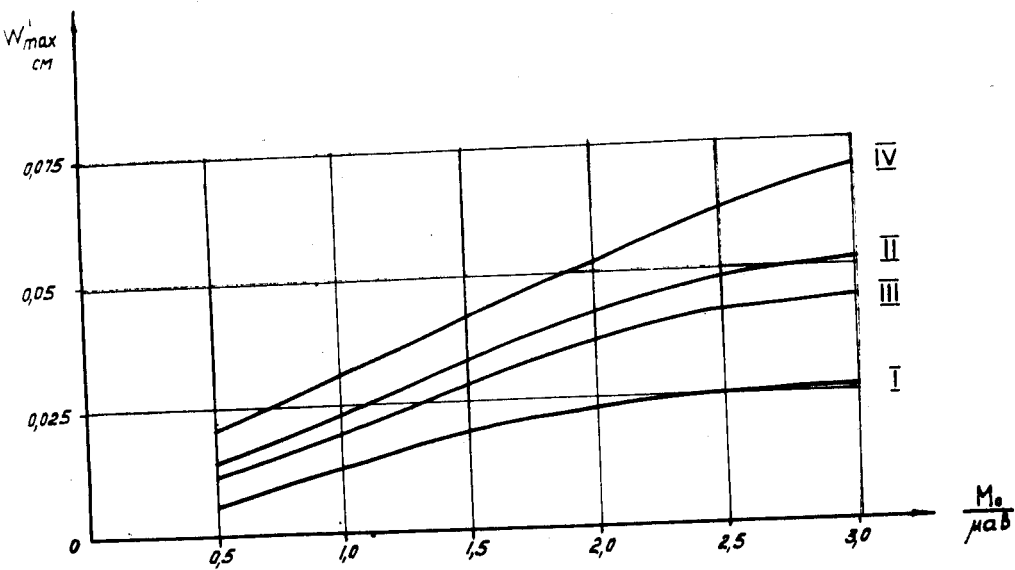


Рис.7

первом приближении достаточно хорошо отражает картину динамических процессов в пузырьковых камерах больших размеров. Учёт большего числа членов рядов дает несущественное уточнение численных результатов при значительном увеличении объема вычислительных работ.

Авторы благодарят В.А. Пальмова за ценные советы и помощь, оказанную при выполнении настоящей работы.

Литература

1. M.S. Dykes, G. Bachy. *Vibration of Bubble Chamber Liquid during Expansion. International Colloq. on Bubble Chamber, CERN 67-26, Vol. 2, pp. 349-369 (1967).*
2. Ю.А. Будагов, В.П. Желепов и др. ПТЭ, №2, 46 (1964); ПТЭ №4, 56 (1964); ПТЭ, №5, 55 (1964); ПТЭ, №4, 42 (1965).
3. В.А. Пупырев. О соотношении вибрационных и акустических воздействий на упругую пластину. МТТ, №1 (1968).
4. Х. Карлсру, Д. Егер. *Операционные методы в прикладной математике.* ИЛ, Л., 1948.
5. Л.В. Канторович, В.И. Крылов. *Приближенные методы высшего анализа.* Физматгиз, М., 1962.

Рукопись поступила в издательский отдел

28 июля 1970 года.